

Часть II

Строение планет и Луны

ГЛАВА 8

СТРОЕНИЕ ПЛАНЕТ ЗЕМНОЙ ГРУППЫ

«В то же время развитие планетной астро-
номии стимулировало и развитие геофизики.
Углубление знаний об одной из планет Солн-
ечной системы привело новый свет на пробле-
мы, открытые для всех ее читонов».

Джеральд П. Коффер, Барбара М. Миффиллерот,
«Планеты и спутники».

8.1. ОБЩИЕ СВЕДЕНИЯ И ДАННЫЕ НАБЛЮДЕНИЙ

К планетам земной группы относятся Меркурий, Венера и Марс. Все планеты земной группы, включая Землю, сравнительно малы. В результате в процессе своего образования они не смогли удержать наиболее распространенную в космосе водородо-гелиевую компоненту. Кроме того, все эти планеты имеют дефицит воды, метана, аммиака — легокипящих и довольно распространенных в космосе соединений. Основными составляющими планет земной группы являются силикаты и железо.

Суждение о внутреннем строении планет земной группы основано на геофизических данных, данных о массах, радиусах и моментах инерции планет, данных физики высоких давлений. Важные идеи вытекают из современных космогонических представлений.

Несмотря на скучность сведений, относящихся к этим планетам, вопрос об их моделях обсуждается в ряде статей и книг, опубликованных в последнее время.

В последние годы благодаря космическим исследованиям основные параметры Марса, Венеры и Меркурия были заметно уточнены. Как мы знаем из первой части данной книги, при построении модели планеты в первую очередь необходимо знать ее массу M , средний радиус R или среднюю плотность ρ и безразмерный момент инерции $I = I/MR^2 \approx C/Ma^2$, где C — момент инерции относительно полярной оси, a — экваториальный радиус. Эти пара-

метры, в основном из сводки Дж. Андерсона, приведены в табл. 8. В табл. 9 приведены первые коэффициенты (J_n, A_{nm}, B_{nm}) [см. формулу (18)] разложения внешнего гравитационного поля по сферическим функциям для Марса и Венеры. Для Марса в настоящее время получено

Таблица 8

Данные наблюдений и параметры фигуры планет земной группы

Планета	$M, \text{ з}$	$a, \text{ км}$	$\tau, \text{ сутки}$	q
Меркурий	$3,34 \cdot 10^{26}$	2432 ± 7	58,65	$1,000 \cdot 10^{-8}$
Венера	$4,871 \cdot 10^{26}$	6052 ± 6	—243,16	$6,101 \cdot 10^{-8}$
Марс	$6,422 \cdot 10^{26}$	3402 ± 8	4,027	$4,609 \cdot 10^{-3}$

поле до шестой гармоники включительно ($m \leq n \leq 6$) (Р. Рийзенберг, И. Шапиро, Р. Вайт, 1975). Таким образом, мы знаем крупномасштабную структуру гравитационного поля Марса намного лучше, чем было известно поле Земли до спутниковых измерений. В табл. 8 включено значение малого параметра теории фигуры q , динамического сжатия (снятие внешней эквипотенциальной поверхности гравитационного потенциала планеты) α [формула (14)] и геометрического сжатия e

$$q = \frac{\omega^2 a^3}{GM} = \frac{4\pi^2 \alpha^3}{GM\tau^2}, \quad \alpha = \frac{3}{2} J_2 + \frac{1}{2} q, \quad e = \frac{a - b}{a}, \quad (63)$$

где ω — угловая скорость вращения и период вращения планеты, b — полярный радиус. Средний радиус R в первом приближении выражается через экваториальный формулой $R = \left(1 - \frac{\alpha}{3}\right)a$. Безразмерный момент инерции \bar{I} для Марса рассчитан по формуле Радо — Дарвина

$$\bar{I} = \frac{1}{MR^2} = \frac{2}{3} \left\{ 1 - \frac{2}{5} \left[5 \left(1 - \frac{3}{2} \frac{J_2}{\alpha} \right) - 1 \right]^{1/2} \right\}. \quad (64)$$

Формула Радо — Дарвина имеет смысл для равновесной планеты или планеты, достаточно близкой к равновесной. Как подробно разъяснено в гл. 2, для равновесной планеты величины q и J_2 одного порядка малости. Обращаясь к табл. 8 и 9, мы обнаруживаем, что для Венеры J_2 больше, чем q , в $450 \div 50$ раз. Следовательно, можно утверждать, что Венера — самая неравновесная планета в Солнечной системе. В этом отношении с ней, вероятно, смежает конкурировать лишь Меркурий, вращение которого

Таблица 9

Коэффициенты разложения внешнего гравитационного поля Марса и Венеры

Гравитационные моменты	Марс		Венера	
	Значение $\cdot 10^4$ («Маринер-9»)	Значение $\cdot 10^4$ («Маринер-5»)	Значение $\cdot 10^4$ («Маринер-10»)	Значение $\cdot 10^4$ («Маринер-5»)
J_2	195,5	2,7 \pm 0,9	(2 \div 0,1)	
A_{21}, B_{21}	0	-5,4	$-0,1 \pm 0,6$	$(1 \div 0,1)$
A_{22}		3,2	$0,5 \pm 0,7$	$(1 \div 0,1)$
B_{22}		0,51		
A_{31}		2,8		
B_{31}		-0,58		
A_{32}		-0,27		
B_{32}		0,5		
A_{33}		0,35		
B_{33}		1,13; -5,73		
$J_3; J_4$				
$J_5; J_6$	-4,52; -6,65			

также было сильно замедлено прививым трением и для которого пока отсутствуют соответствующие данные.

Обычный способ определения момента инерции планеты по известным J_2 и q основан на использовании формулы Радо — Дарвина (64), причем предполагается, что планета близка к гидростатическому равновесию. Масштаб неравновесности Венеры исключает возможность найти ее момент инерции таким путем. Для Венеры также неизвестна постоянная пресцессии $H = MaJ_2/C$, где C — полярный момент инерции, и неясно, можно ли будет определить ее в обозримом будущем. Отсюда следует, что найти момент инерции Венеры из данных наблюдений, по-видимому, невозможно.

Из-за того, что небра Марса и Венеры отклоняются от состояния гидростатического равновесия, разность их глав-

ных моментов инерции относительно осей, расположенных в экваториальной плоскости, не равна нулю. Эта разность может быть рассчитана по формуле

$$\frac{B - A}{MR^2} = 4 \sqrt{A_{22}^2 + B_{22}^2} \quad (65)$$

и равна $(25,2 \pm 0,5) \cdot 10^{-5}$ для Марса и $(4,0 \pm 1,4) \cdot 10^{-5}$ для Венеры.

В январе 1972 г. советская станция «Марс-3», пропавшиа измерение магнитного поля на орбите вокруг Марса, обнаружила у этой планеты слабое дипольное поле (Ш. Ш. Долгинов, Е. Г. Ероненко, Л. Н. Жугов). Ось диполя наклонена к оси вращения планеты под углом $\sim 15-20^\circ$, а полярность марсианского магнитного поля обратна полярности земного магнитного поля. Напряженность поля на магнитном экваторе диполя оценивается величиной $B_0 = 64$ гамма (1 гамма $= 10^{-5}$ эрстеда), а магнитный дипольный момент Марса $M = B_0 \cdot R^3 = \approx 2,5 \cdot 10^{22}$ Гс·см³. Вопрос о природе магнитного поля Марса и о связи этого поля с пебольшим железным ядром планеты (или ядром из сплава Fe—FeS) остается открытым).

Измерение магнитного поля в окрестностях Венеры производилось советскими и американскими космическими аппаратами «Венера-4», «Венера-5», «Венера-10», «Маринер-5» и «Маринер-10». До 1976 г. считалось, что Венера не обладает собственным магнитным полем. В 1976 г. Г. Расселл высказал гипотезу о том, что данные магнитных измерений на «Венере-4» можно интерпретировать, как указывающие на то, что у планеты может быть собственное магнитное поле. Убедительная аргументация в пользу существования у Венеры собственного магнитного поля на основе анализа данных аппаратов «Венера-4, -9, -10» была приведена Ш. Ш. Долгиновым с сотрудниками в 1977 г. Магнитный момент Венеры лежит в пределах $(3 \div 5) \cdot 10^{22}$ Гс·см³. Тогда напряженность поля на магнитном экваторе диполя оценивается величиной $B_0 = 14 \div 23$ гамма. Полярность венерианского магнитного поля совпадает с полярностью магнитного поля Земли.

Космическая станция «Маринер-10», пролетев в 1974—1975 гг. мимо Меркурия, обнаружила у планеты дополнительное магнитное поле с $B_0 = 350$ гамма (Н. Несс и со-трудники). Магнитный момент $M = 4,7 \cdot 10^{22}$ Гс·см³. Ди-

поль наклонен к нормали плоскости орбиты на угол 12° . Выяснение природы этого поля, так же как и в случае Марса и Венеры, требует дальнейших исследований.

8.2. НАПРЯЖЕНИЯ В НЕДРАХ МАРСА И ВЕНЕРЫ

Качественно максимальные касательные напряжения в недрах планеты τ_{\max} можно оценить с помощью размерной формулы, согласно которой τ_{\max} пропорционально произведению ускорения силы тяжести g , плотности ρ , радиуса R и негидростатических значений коэффициентов в разложении внешнего потенциала. В случае Земли максимальные напряжения обусловлены негидростатичностью квадрупольного момента $(J_2 - J_2^0) \sim 10^{-5}$. Остальные коэффициенты порядка 10^{-6} и меньше.

Вопрос о негидростатичности квадрупольного гравитационного момента Марса J_2 не исследован. Для Венеры, как это указывалось выше, практические все величины J_2 связаны с негидростатичностью планеты. Итак, согласно табл. 9 наибольшие напряжения в Марсе связаны с отличием от нуля коэффициентов $(J_n, n \geq 3, A_{22}, B_{22}, B_{31})$ и у Венеры с $J_2 \gg q$.

Радиус Марса и его ускорение силы тяжести примерно в два раза меньше соответствующих величин для Земли. Поэтому напряжения в недрах Марса лишь немногого ($2 \div 3$ раза) превосходят напряжения в недрах Земли, т. е. составляют несколько десятков бар и, может быть, docholят в некоторых областях до сотни бар.

Касательные напряжения в недрах Венеры, если принять верхний предел для J_2 такой, какой приведен в табл. 9, порядка 100 бар. Этот результат несколько неожидан, так как наружный слой Венеры, казалось бы, должен быть более разогретым по сравнению с литосферным слоем Земли из-за высокой температуры поверхности Венеры. Качественный анализ напряжений в недрах Марса и Венеры можно рассматривать как указание на то, что обе планеты должны обладать мощными наружными литосферными оболочками толщиной в 100 км и более, чтобы выдерживать заметные негидростатические напряжения на протяжении космических интервалов времени. Другая возможность — предположить, что напряжения поддерживаются жесткими нижними мантиями Марса и Венеры.

8.3. МОДЕЛИ ВНУТРЕННЕГО СТРОЕНИЯ МЕРКУРИЯ, ВЕНЕРЫ И МАРСА¹⁾

Существует различие в определении $\rho(l)$ для Земли и для других планет. В случае Земли нам известна из смолотия величина $\Phi = K/\rho$ как функция радиуса, и при определении $\rho(l)$ для Земли мы смогли обойтись без уравнения состояния. Более того, с помощью уравнения Адамса — Вильямсона оказалось возможным рассчитать реальную модель Земли (см. рис. 22) и таким образом определить уравнение состояния земного вещества $\rho = \rho(\rho)$, используя только геофизические данные. В случае планет величина Φ неизвестна и поэтому необходимо знать уравнение состояния $\rho(\rho)$, дающее закон, по которому скимается вещества планеты под весом вышележащих слоев. При расчетах моделей Меркурия, Венеры и Марса использованы уравнение состояния земного вещества, а также уравнения состояния Fe, MgO, FeO, SiO₂, Al₂O₃ и др., определенные по динамическим и статическим экспериментальным данным.

Меркурий. На рис. 28 показано распределение плотности, давления и ускорения силы тяжести в модели Меркурия. Основные числовые параметры модели собраны в табл. 10. В показанной на рис. 28 двухслойной модели Меркурия планета состоит из железного ядра и силикатной оболочки. При построении модели не учитывалось, что Меркурий, как и все планеты земной группы, должен обладать корой. При расчете было использовано уравнение состояния $\rho = \rho(\rho)$ холодного железа, а для силикатной оболочки зависимость $\rho(\rho)$ бралась для реальной модели Земли. Меркурий обладает собственным магнитным полем и, вероятно, его ядро расплавлено. Поэтому распределение плотности, показанное на рис. 28, завышает плотность расплавленного ядра примерно на ~10%. Давление на границе силикатной оболочки с ядром составляет 94,5 · 10³ бар, а температура по оценкам ~2000 °C. Согласно фазовой диаграмме системы (Mg, Fe)₂SiO₄, показанной на рис. 19, в термодинамических условиях меркурианских недр магнезиальные оливины не будут испытывать фазовый переход в фазы высокого давления. Следовательно, недра Меркурия состоят из оливиновой оболочки и железного ядра.

¹⁾ Наше изложение основано на работах С. В. Козловской, выполненных в Институте физики Земли АН СССР им. О. Ю. Шмидта.

Венера. О Венере имеется мало данных. В этих условиях, с учетом того, что Венера является планетой — близнецом Земли, модель Земли может служить хорошим приближением для модели Венеры. На рис. 29 показано распределение плотности, давления и ускорения силы тяжести.

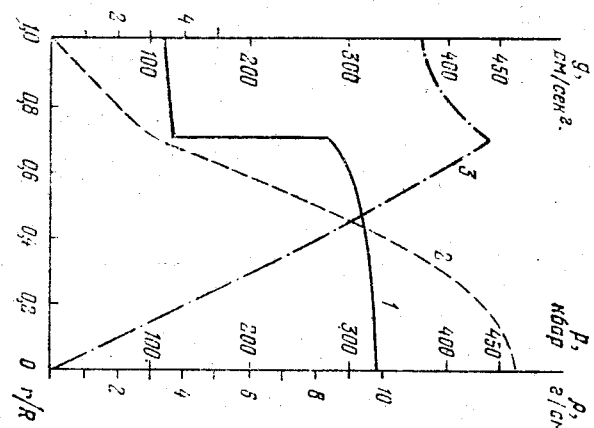


Рис. 28. Модель Меркурия с ядром из железа. Кривые 1, 2, 3 — распределение плотности ρ , давления p и ускорения силы тяжести g в зависимости от радиуса.

Земля. В модели Венеры. Основные числовые параметры модели собраны в табл. 11. Трехслойная модель планеты состоит из коры мощностью 16 км, силикатной оболочки, которая на глубине 3224 км граничит с железным ядром. При расчете модели Венеры были использованы те же уравнения состояния, что и при построении модели Меркурии. Реальная плотность расплавленного венерианского ядра должна быть меньше показанной на рис. 29, примерно на 10%. Это обусловлено тем, что при расчете было использовано холодное уравнение состояния железа. Магнитический состав оболочки Венеры, видимо, близок к составу земной оболочки, подробно описанному в § 7.4. Относительное сопоставление железа в недрах Венеры и Земли примерно одинаково. Было указывалось, что каса-

Таблица 10

Числовые параметры модели Меркурия с мантией из вещества верхней мантии Земли и железным ядром,
 $M = 3,302 \cdot 10^{26} \text{ кг}, R = 2437 \text{ км}, \rho = 5,45 \text{ г/см}^3,$
 $C/MR^2 = 0,324, M_{\text{ядра}} = 59,8\% M.$

r/R	$r, \text{км}$	$\rho, \text{г/см}^3$	$M(r)/M$	$\frac{\rho}{\rho_{\text{жел}}}$	$\frac{g}{g_{\text{жел}}}$
Мантия					
1,000	2437	3,29	1,000	0	371
0,95	2315	3,35	0,914	14,5	376
0,9	2193	3,39	0,832	30,8	382
0,8	1950	3,47	0,697	63,0	404
0,7097	1730	3,54	0,598	95,8	440
Железное ядро					
0,7097	1730	8,30	0,598	95,8	440
0,65	1584	8,85	0,465	148	410
0,6	1462	9,07	0,372	192	381
0,5	1218	9,31	0,219	271	324
0,4	975	9,49	0,114	340	263
0,3	731	9,64	0,098	392	198
0,2	487	9,74	0,014	432	132
0,1	244	9,81	0,002	456	68
0	0	9,83	0	465	0

тельные напряжения в недрах Венеры в несколько раз больше, чем в недрах Земли. Возможно, что недра Венеры обладают большей прочностью, чем недра Земли из-за того, что там находится меньше примесей летучих веществ, понижающих прочность. Одним из нерешенных

вопросов, важных для понимания тектонической активности планеты, является вопрос о наличии у Венеры под литосферным слоем, так же как и у Земли, размягченного астеносферного слоя. Вероятно, этот вопрос, как и многие другие, может быть решен при прямых исследованиях планеты с помощью геофизической аппаратуры, установленной на ее поверхности.

Марс. О Марсе имеется больше данных, чем о Меркурии и о Венере. Определение реальной модели Марса представляет собой сложную и вместе с тем очень важную задачу планетологии. Имеются теоретические указания о том, что физико-химические условия конденсации вещества протопланетного облака в зоне Марса были тако-

вы, что заметная доля железа связывалась серой, а сами ферромагнезиальные силicate должны сместиться в сторону железистых силикатов по сравнению с силикатами, которые конденсировались в зоне Земли, Венеры

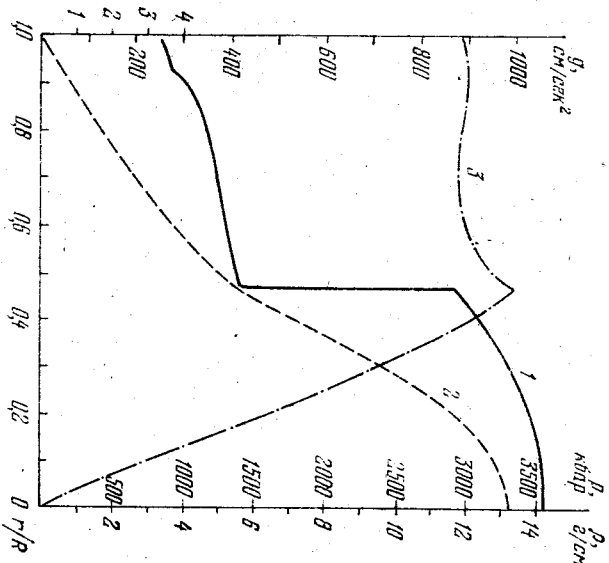


Рис. 29. Модель Венеры с ядром из железа. Кривые 1, 2, 3 — распределение плотности ρ , давления p и упругости g вдоль радиуса.

II Меркурия. Таким образом, построение модели Марса, удовлетворяющей данным наблюдений, по существу, должно ответить на два фундаментальных вопроса:

- 1) Действительно ли ядро Марса содержит заметное количество FeS_3 ?
- 2) Заметно ли больше молекулярное отношение Fe/Mg в силикатной оболочке Марса, чем, скажем, в силикатной оболочке Земли?

Однозначного убедительного ответа на первый вопрос получить не удается. Можно построить модели Марса с чисто железным ядром, удовлетворяющие данным наблюдений. Результатом экспериментом, который бы установил, состоит ли ядро Марса из чистого железа или пред-

Числовые параметры модели Венеры с мантией из вещества

мантии Земли и железным ядром,

$$M = 4,874 \cdot 10^{27} \text{ кг}, R = 6350 \text{ км}, \rho = 5,25 \text{ г/см}^3,$$

$$C/MR^2 = 0,332, M_{\text{ядра}} = 24,6 \% M$$

ядро Марса составляет 7% полной массы планеты. На рис. 30 показано также распределение плотности в Марсе с ядром из сплава Fe — FeS, взятое из работы

r/R	$r, \text{ км}$	$\rho, \text{ г/см}^3$	$M(r)/M$	$v, \text{ кбар}$	$\frac{g}{g_{\text{Земля}}}$
Мантия					
1,000	6050	2,8	1,000	0	887
0,9974	6034	2,8	0,996	4	888
0,9974	6034	3,315	0,996	4	888
0,95	5748	3,54	0,907	93	891
0,925	5596	3,64	0,863	140	895
0,9	5445	3,95	0,815	158	897
0,8	4840	4,61	0,638	420	885
0,7	4235	4,90	0,484	678	878
0,6	3630	5,18	0,360	945	895
0,5	3075	5,45	0,270	1245	961
0,4672	2826	5,55	0,246	1355	1002
Железное ядро					
0,4672	2826	11,6	0,246	1355	1002
0,4	2420	12,3	0,160	1700	891
0,3	1815	13,2	0,070	2440	697
0,2	1210	13,8	0,022	2908	480
0,1	605	14,1	0,003	3180	230
0	0	14,2	0	3300	0

ставляет собой сплав Fe — FeS, было бы определение

радиуса ядра Марса сейсмическими методами. На второй поставленный вопрос уже сейчас можно дать утвердительный ответ. Да, силикатная оболочка Марса заметно обогащена железом, так что молекулярное отношение

$Mg/(Mg + Fe)$ составляет $\sim \frac{2}{3}$. Этот результат как бы подтверждает картину конденсации протопланетного облака, которая обсуждается в настоящее время. На рис. 30 показано распределение плотности и ускорения силы тяжести в Марсе, когда Марс имеет железное ядро, состоящее из сплава Fe — FeS по Д. Андерсону.

Дона Андерсона. Добавка FeS в железное ядро Марса понижает его плотность, увеличивает радиус, но мало оказывается на распределении плотности в силикатной оболочке планеты.

Для суждения о минералогическом составе оболочки Марса следует обратиться к фазовой диаграмме $(Mg, Fe)_2SiO_4$ (см. рис. 19). Для состава $(Mg_{0,6}Fe_{0,4})_2SiO_4$ при температурах $\sim 1600^\circ C$ (подходящая оценка температуры в недрах Марса) переход оливина (α) в шпинель (γ) начинается при ~ 85 кбарах на глубине ~ 600 км. Полный переход $\alpha \rightarrow \gamma$ занимает при постоянной температуре интервал ~ 40 кбар, чemu отвечает изменение глубины на 350 км. Если учесть, что в этом переходном слое температура также возрастает, то можно ожидать, что

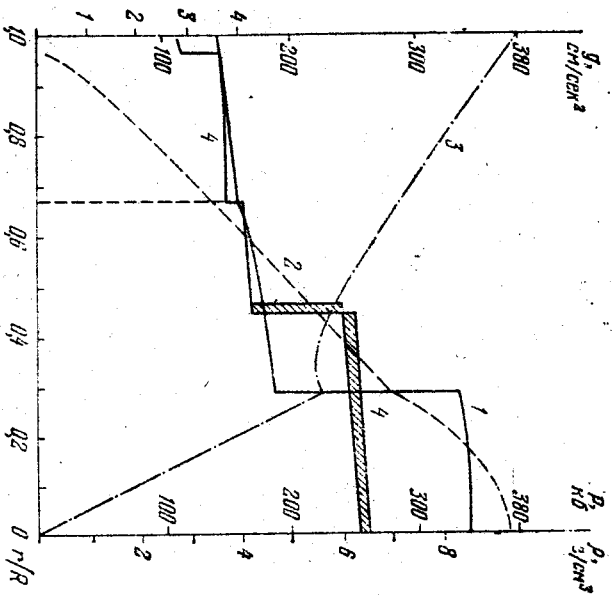


Рис. 30. Модель Марса с железным ядром. Кривые 1, 2, 3 — распределение плотности g вдоль радиуса ядра. Кривая 4 — распределение плотности в модели Марса с ядром из сплава Fe — FeS по Д. Андерсону.

Таблица 12

Числовые параметры модели Марса с мантией из вещества верхней мантии Земли (с добавкой к нему 13,35% Fe)

Общее содержание железа $\geq 25\%$, кора толщиной 100 км

$$M_{\text{кор}} = 6,2\%, M = 7,3\%, M_{\text{сил.}},$$

$$M = 6,423 \cdot 10^{28} \text{ г}, a = 3392 \text{ км}, R = 3386 \text{ км},$$

$$\rho = 3,95 \text{ г/см}^3, C/MR^2 = 0,376$$

r/R	$r, \text{ км}$	$\rho, \text{ г/см}^3$	$M(r)/M$	$r, \text{ км/рад}$	$\frac{\text{г}}{\text{см}^3/\text{сек}^2}$
Кора					
Мантия					
1,000 0,9705	3386 3286	2,83 2,86	1,000 0,938	0 40,6	374 372
0,9705 0,9 0,8 0,7 0,6 0,5 0,4 0,2834	3286 3047 2709 2370 2032 1693 1354 960	3,63 3,73 3,84 3,94 4,13 4,34 4,51 4,65	0,938 0,765 0,558 0,392 0,263 0,165 0,0965 0,0485	10,6 42,6 85,9 126,9 165,6 202,8 238 278	372 353 326 299 271 247 224 225
Железное ядро					
0,2834 0,2 0,1 0	960 677 339 0	8,33 8,42 8,50 8,53	0,0485 0,0173 0,0022 0	273 323 353 371	225 159 80 0

переходный слой в силикатной мантии Марса расположен на глубинах $\sim 600 \div 1100$ км. В этом слое сосуществуют α - и γ -фазы. Переход из α - в γ -фазу сопровождается увеличением плотности на $\sim 10\%$. Глубже примерно 1100 км расположена нижняя мантия Марса, состоящая в основном из шпинелевой модификации оливина. Пироксены в нижней мантии Марса примут структуру ильменита с увеличением плотности на 15–18 %. У полошвы мантии должны произойти дальнейшие фазовые переходы, при которых силикаты перейдут в структуру первовскита.

Все эти выводы можно сделать, если использовать данные, приведенные в § 7.4. Полное содержание железа в Марсе $\leq 25\%$. Это заметно меньше, чем у Земли и Венеры ($> 30\%$), которые в свою очередь содержат железа меньше, чем Меркурий.